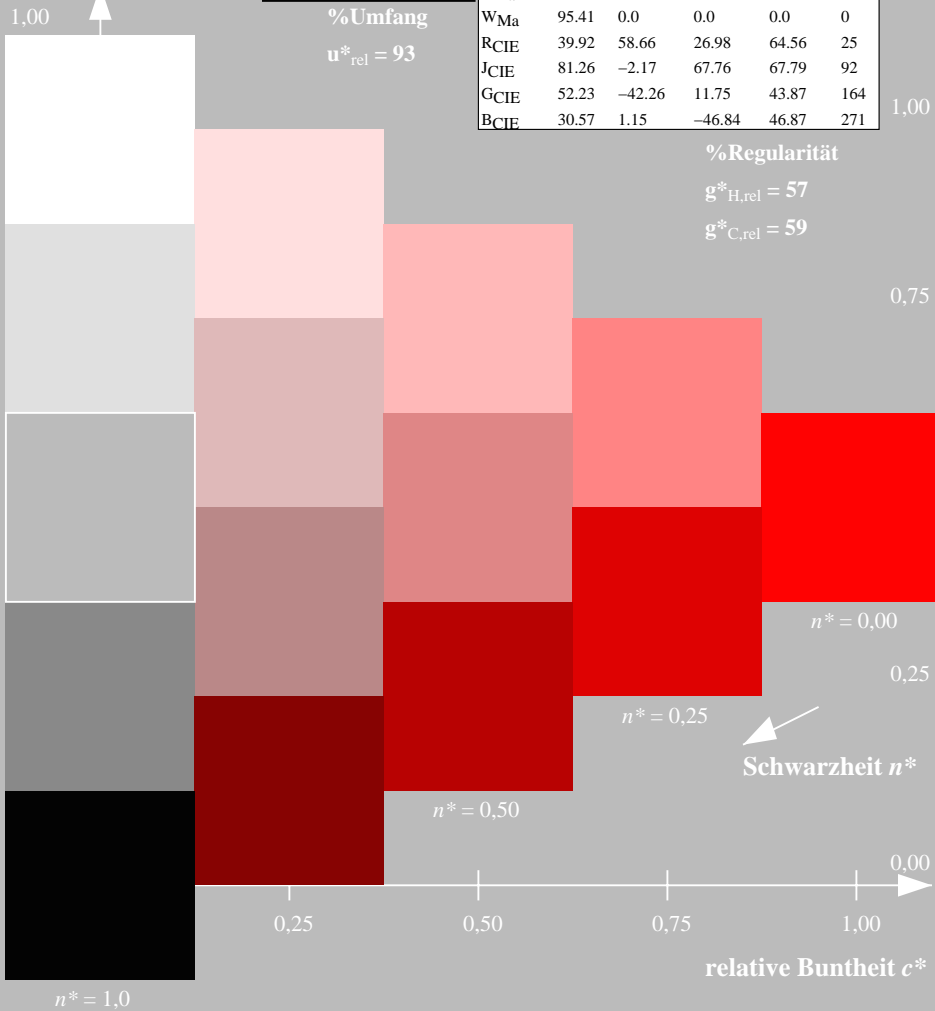


Eingabe: Farbmatisches Reflexions-System ORS18

für Buntton  $h^* = lab^*h = 38/360 = 0.105$   
 $lab^*tch$  und  $lab^*nch$

D65: Buntton O  
 LCH\*Ma: 48 83 38  
 rgb\*Ma: 1.0 0.0 0.0

Dreiecks-Helligkeit



ORS18; adaptierte CIELAB-Daten

	$L^*=L^*_a$	$a^*_a$	$b^*_a$	$C^*_{ab,a}$	$h^*_{ab,a}$
OMa	47.94	65.37	50.52	82.62	38
YMa	90.37	-10.27	91.77	92.34	96
LMa	50.9	-62.79	34.95	71.87	151
CMa	58.62	-30.35	-45.01	54.3	236
VMa	25.71	31.11	-44.42	54.24	305
MMa	48.13	75.27	-8.35	75.73	354
NMa	18.01	0.0	0.0	0.0	0
WMa	95.41	0.0	0.0	0.0	0
RCIE	39.92	58.66	26.98	64.56	25
JCIE	81.26	-2.17	67.76	67.79	92
GCIE	52.23	-42.26	11.75	43.87	164
BCIE	30.57	1.15	-46.84	46.87	271

%Regularität

$g^*_{H,rel} = 57$

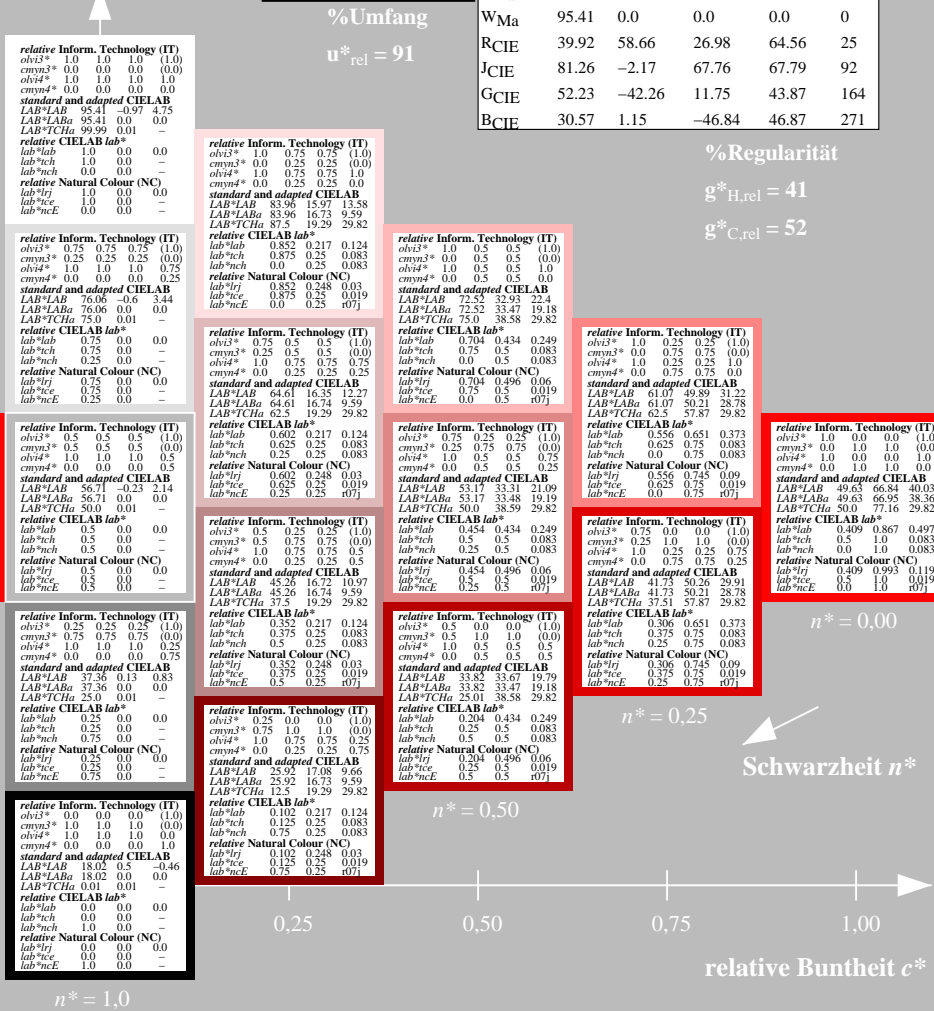
$g^*_{C,rel} = 59$

Ausgabe: Farbmatisches Reflexions-System MRS18

für Buntton  $h^* = lab^*h = 30/360 = 0.083$   
 $lab^*tch$  und  $lab^*nch$

D65: Buntton R  
 LCH\*Ma: 50 77 30  
 rgb\*Ma: 1.0 0.0 0.0

Dreiecks-Helligkeit



MRS18; adaptierte CIELAB-Daten

	$L^*=L^*_a$	$a^*_a$	$b^*_a$	$C^*_{ab,a}$	$h^*_{ab,a}$
RMa	49.63	66.96	38.37	77.18	30
JMa	90.7	-6.36	88.75	88.98	94
GMa	52.11	-69.73	9.44	70.37	172
G50BMa	45.03	-36.57	-28.47	46.36	218
BMa	36.65	23.19	-63.05	67.18	290
B50RMa	34.94	57.17	-44.26	72.31	322
NMa	18.01	0.0	0.0	0.0	0
WMa	95.41	0.0	0.0	0.0	0
RCIE	39.92	58.66	26.98	64.56	25
JCIE	81.26	-2.17	67.76	67.79	92
GCIE	52.23	-42.26	11.75	43.87	164
BCIE	30.57	1.15	-46.84	46.87	271

%Regularität

$g^*_{H,rel} = 41$

$g^*_{C,rel} = 52$

TG400-7, 5stufige Reihen für konstanten CIELAB Buntton 38/360 = 0.105 (links)

5stufige Reihen für konstanten CIELAB Buntton 30/360 = 0.083 (rechts)

BAM-Prüfvorlage TG40; Farbmatisches System ORS18 & MRS18  
 Input:  $olv^* setrgbcolor$   
 D65: 5stufige Farbreihen und Koordinaten-Daten für 10 Bunttöne  
 Output:  $olv^* setrgbcolor / w^* setgray$

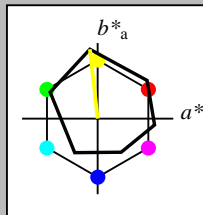
Eingabe: Farbmatisches Reflexions-System ORS18

für Bunton  $h^* = lab^*h = 96/360 = 0.268$

$lab^*tch$  und  $lab^*nch$

D65: Bunton Y  
 LCH\*Ma: 90 92 96  
 rgb\*Ma: 1.0 1.0 0.0

Dreiecks-Helligkeit



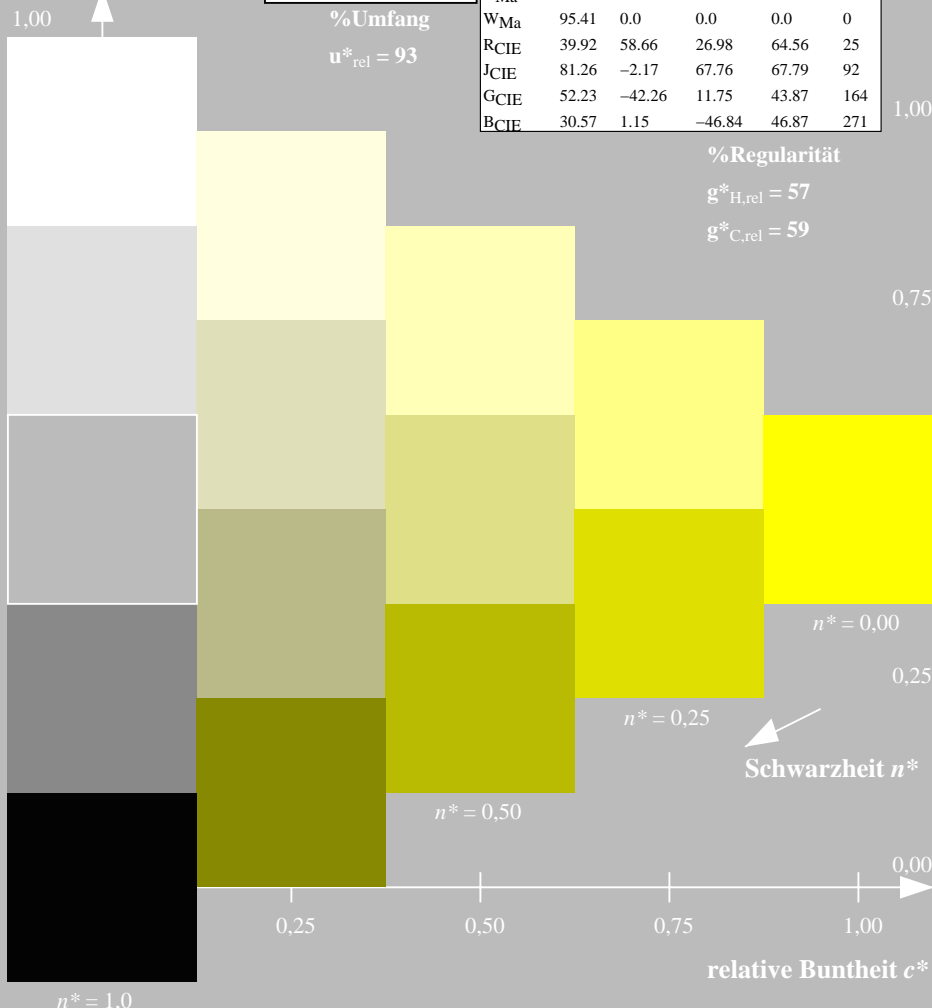
ORS18; adaptierte CIELAB-Daten

	$L^*=L^*_a$	$a^*_a$	$b^*_a$	$C^*_{ab,a}$	$h^*_{ab,a}$
OMa	47.94	65.37	50.52	82.62	38
YMa	90.37	-10.27	91.77	92.34	96
LMa	50.9	-62.79	34.95	71.87	151
CMa	58.62	-30.35	-45.01	54.3	236
VMa	25.71	31.11	-44.42	54.24	305
MMa	48.13	75.27	-8.35	75.73	354
NMa	18.01	0.0	0.0	0.0	0
WMa	95.41	0.0	0.0	0.0	0
RCIE	39.92	58.66	26.98	64.56	25
JCIE	81.26	-2.17	67.76	67.79	92
GCIE	52.23	-42.26	11.75	43.87	164
BCIE	30.57	1.15	-46.84	46.87	271

%Regularität

$g^*_{H,rel} = 57$

$g^*_{C,rel} = 59$



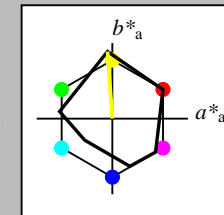
Ausgabe: Farbmatisches Reflexions-System MRS18

für Bunton  $h^* = lab^*h = 94/360 = 0.261$

$lab^*tch$  und  $lab^*nch$

D65: Bunton J  
 LCH\*Ma: 91 89 94  
 rgb\*Ma: 1.0 1.0 0.0

Dreiecks-Helligkeit



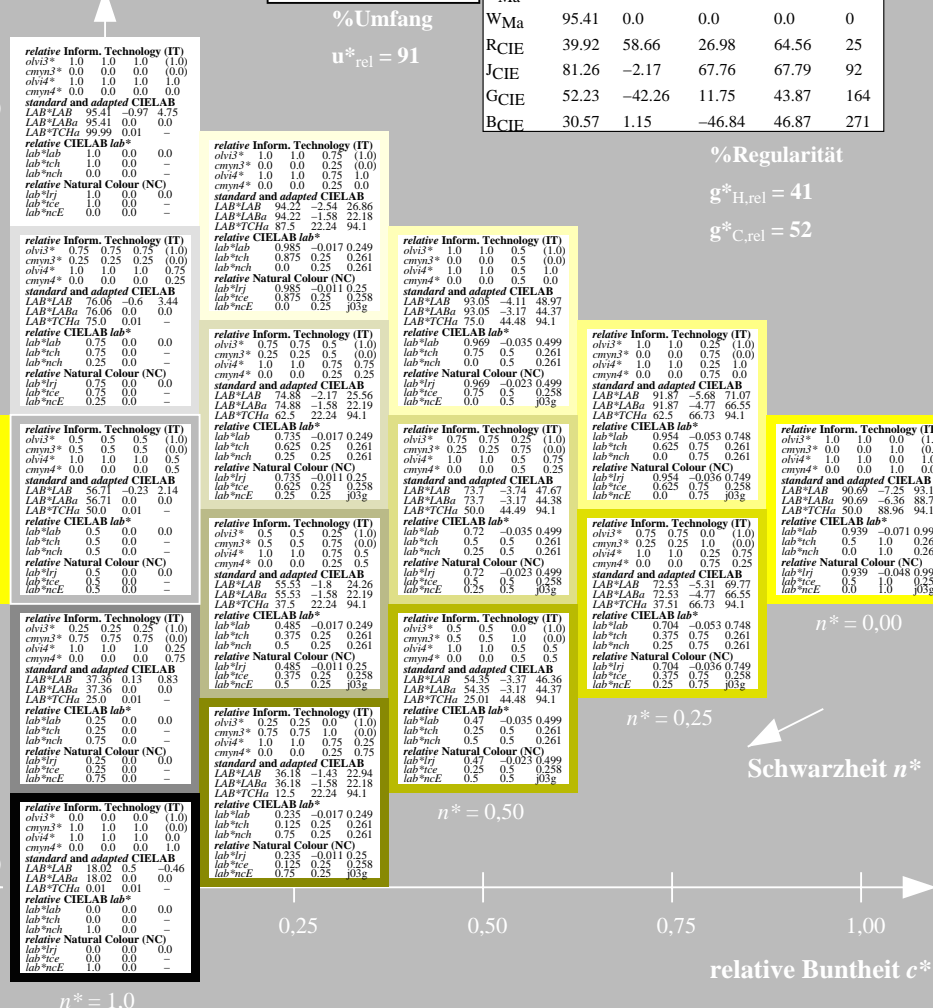
MRS18; adaptierte CIELAB-Daten

	$L^*=L^*_a$	$a^*_a$	$b^*_a$	$C^*_{ab,a}$	$h^*_{ab,a}$
RMa	49.63	66.96	38.37	77.18	30
JMa	90.7	-6.36	88.75	88.98	94
GMa	52.11	-69.73	9.44	70.37	172
G50BMa	45.03	-36.57	-28.47	46.36	218
BMa	36.65	23.19	-63.05	67.18	290
B50RMa	34.94	57.17	-44.26	72.31	322
NMa	18.01	0.0	0.0	0.0	0
WMa	95.41	0.0	0.0	0.0	0
RCIE	39.92	58.66	26.98	64.56	25
JCIE	81.26	-2.17	67.76	67.79	92
GCIE	52.23	-42.26	11.75	43.87	164
BCIE	30.57	1.15	-46.84	46.87	271

%Regularität

$g^*_{H,rel} = 41$

$g^*_{C,rel} = 52$



TG400-7, 5 stufige Reihen für konstanten CIELAB Bunton 96/360 = 0.268 (links)

5 stufige Reihen für konstanten CIELAB Bunton 94/360 = 0.261 (rechts)

BAM-Prüfvorlage TG40; Farbmatrik-Systeme ORS18 & MRS18input:  $olv^* setrgbcolor$

D65: 5stufige Farbreihen und Koordinaten-Daten für 10 Bunttöneoutput:  $olv^* setrgbcolor / w^* setgray$

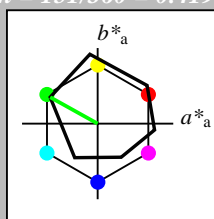
Eingabe: Farbmatisches Reflexions-System ORS18

für Buntton  $h^* = lab^*h = 151/360 = 0.419$   
 $lab^*tch$  und  $lab^*nch$

D65: Buntton L  
 LCH\*Ma: 51 72 151  
 rgb\*Ma: 0.0 1.0 0.0

Dreiecks-Helligkeit

1.00 ↑  
 %Umfang  
 $u^*_{rel} = 93$



**ORS18; adaptierte CIELAB-Daten**

	$L^*=L^*_a$	$a^*_a$	$b^*_a$	$C^*_{ab,a}$	$h^*_{ab,a}$
OMa	47.94	65.37	50.52	82.62	38
YMa	90.37	-10.27	91.77	92.34	96
LMa	50.9	-62.79	34.95	71.87	151
CMa	58.62	-30.35	-45.01	54.3	236
VMa	25.71	31.11	-44.42	54.24	305
MMa	48.13	75.27	-8.35	75.73	354
NMa	18.01	0.0	0.0	0.0	0
WMa	95.41	0.0	0.0	0.0	0
RCIE	39.92	58.66	26.98	64.56	25
JCIE	81.26	-2.17	67.76	67.79	92
GCIE	52.23	-42.26	11.75	43.87	164
BCIE	30.57	1.15	-46.84	46.87	271

%Regularität

$g^*_{H,rel} = 57$

$g^*_{C,rel} = 59$

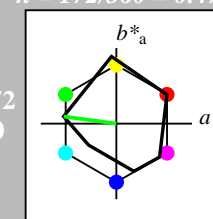
Ausgabe: Farbmatisches Reflexions-System MRS18

für Buntton  $h^* = lab^*h = 172/360 = 0.479$   
 $lab^*tch$  und  $lab^*nch$

D65: Buntton G  
 LCH\*Ma: 52 70 172  
 rgb\*Ma: 0.0 1.0 0.0

Dreiecks-Helligkeit

1.00 ↑  
 %Umfang  
 $u^*_{rel} = 91$



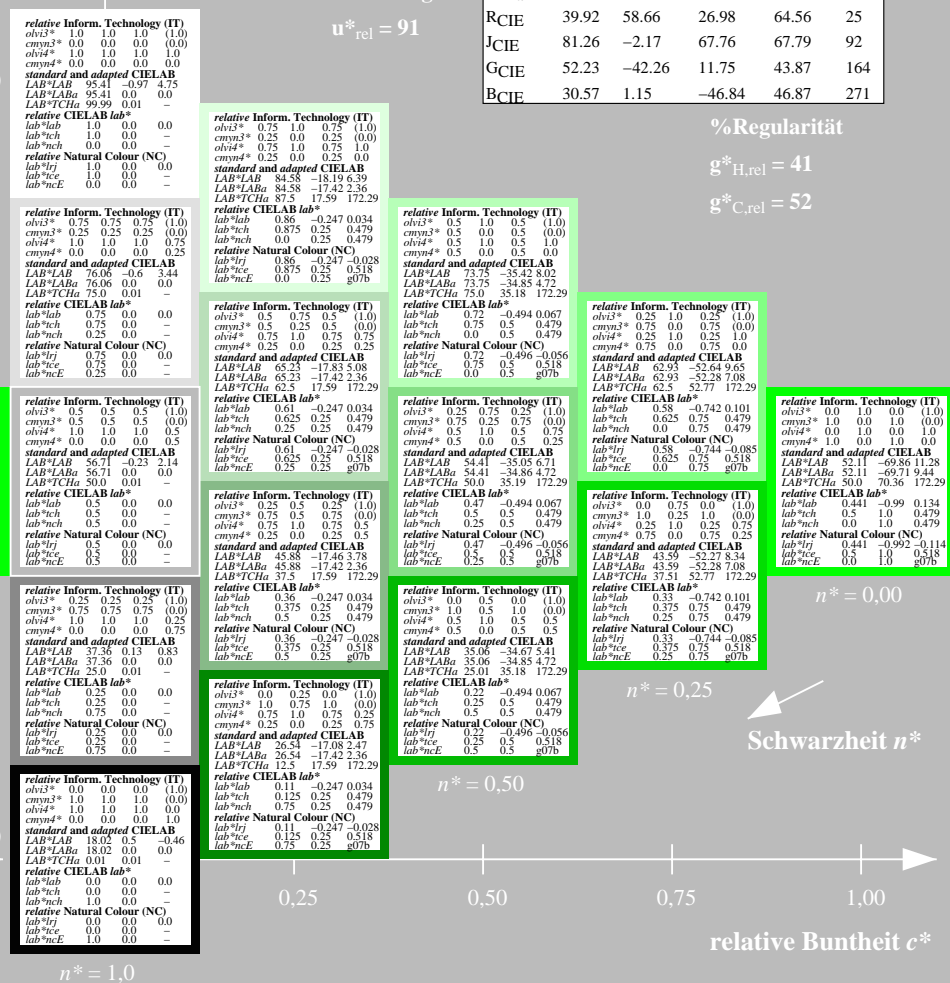
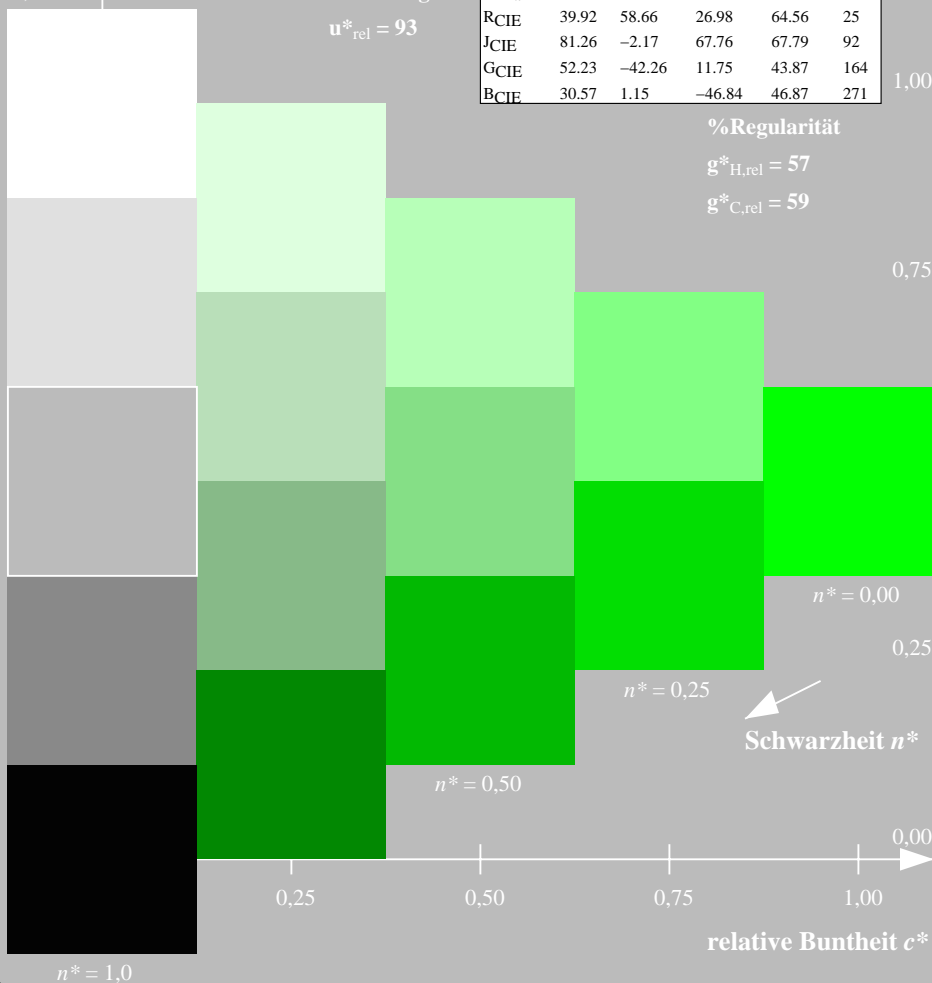
**MRS18; adaptierte CIELAB-Daten**

	$L^*=L^*_a$	$a^*_a$	$b^*_a$	$C^*_{ab,a}$	$h^*_{ab,a}$
RMa	49.63	66.96	38.37	77.18	30
JMa	90.7	-6.36	88.75	88.98	94
GMa	52.11	-69.73	9.44	70.37	172
G50BMa	45.03	-36.57	-28.47	46.36	218
BMa	36.65	23.19	-63.05	67.18	290
B50RMa	34.94	57.17	-44.26	72.31	322
NMa	18.01	0.0	0.0	0.0	0
WMa	95.41	0.0	0.0	0.0	0
RCIE	39.92	58.66	26.98	64.56	25
JCIE	81.26	-2.17	67.76	67.79	92
GCIE	52.23	-42.26	11.75	43.87	164
BCIE	30.57	1.15	-46.84	46.87	271

%Regularität

$g^*_{H,rel} = 41$

$g^*_{C,rel} = 52$



TG400-7, 5stufige Reihen für konstanten CIELAB Buntton 151/360 = 0.419 (links)

5 stufige Reihen für konstanten CIELAB Buntton 172/360 = 0.479 (rechts)

BAM-Prüfvorlage TG40; Farbmatisches System ORS18 & MRS18input:  $olv^* setrgbcolor$

D65: 5stufige Farbreihen und Koordinaten-Daten für 10 Bunttöneoutput:  $olv^* setrgbcolor / w^* setgray$

Siehe ähnliche Dateien: <http://www.ps.bam.de/TG40/>  
 Technische Information: <http://www.ps.bam.de> Version 2.1, io=1.1, CIEXYZ

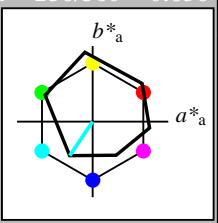
BAM-Registrierung: 20060101-TG40/10Q/Q40G02FP.PS/.PDF BAM-Material: Code=thata  
 Anwendung für Beurteilung und Messung von Drucker- oder Monitorssystemen, Yr=2.5, XYZ  
 /TG40/ Form 3/10, Serie: 1/1, Seite: 3  
 Seitenanzahl 3

Eingabe: Farbmatisches Reflexions-System ORS18

für Buntton  $h^* = lab^*h = 236/360 = 0.656$   
 $lab^*tch$  und  $lab^*nch$

D65: Buntton C  
 LCH\*Ma: 59 54 236  
 rgb\*Ma: 0.0 1.0 1.0

Dreiecks-Helligkeit



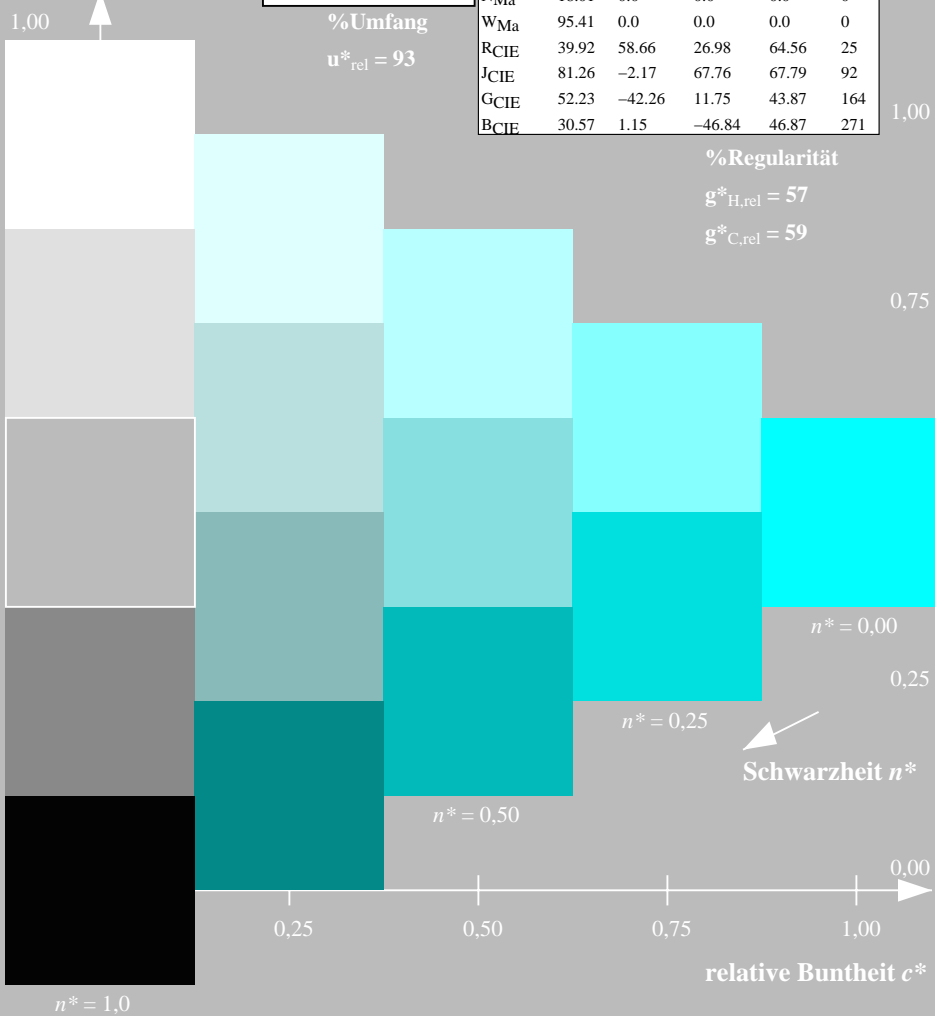
ORS18; adaptierte CIELAB-Daten

	$L^*=L^*_a$	$a^*_a$	$b^*_a$	$C^*_{ab,a}$	$h^*_{ab,a}$
OMa	47.94	65.37	50.52	82.62	38
YMa	90.37	-10.27	91.77	92.34	96
LMa	50.9	-62.79	34.95	71.87	151
CMa	58.62	-30.35	-45.01	54.3	236
VMa	25.71	31.11	-44.42	54.24	305
MMa	48.13	75.27	-8.35	75.73	354
NMa	18.01	0.0	0.0	0.0	0
WMa	95.41	0.0	0.0	0.0	0
RCIE	39.92	58.66	26.98	64.56	25
JCIE	81.26	-2.17	67.76	67.79	92
GCIE	52.23	-42.26	11.75	43.87	164
BCIE	30.57	1.15	-46.84	46.87	271

%Regularität

$g^*_{H,rel} = 57$

$g^*_{C,rel} = 59$



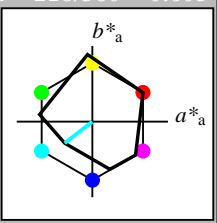
TG400-7, 5stufige Reihen für konstanten CIELAB Buntton 236/360 = 0.656 (links)

Ausgabe: Farbmatisches Reflexions-System MRS18

für Buntton  $h^* = lab^*h = 218/360 = 0.605$   
 $lab^*tch$  und  $lab^*nch$

D65: Buntton G50B  
 LCH\*Ma: 45 46 218  
 rgb\*Ma: 0.0 1.0 1.0

Dreiecks-Helligkeit



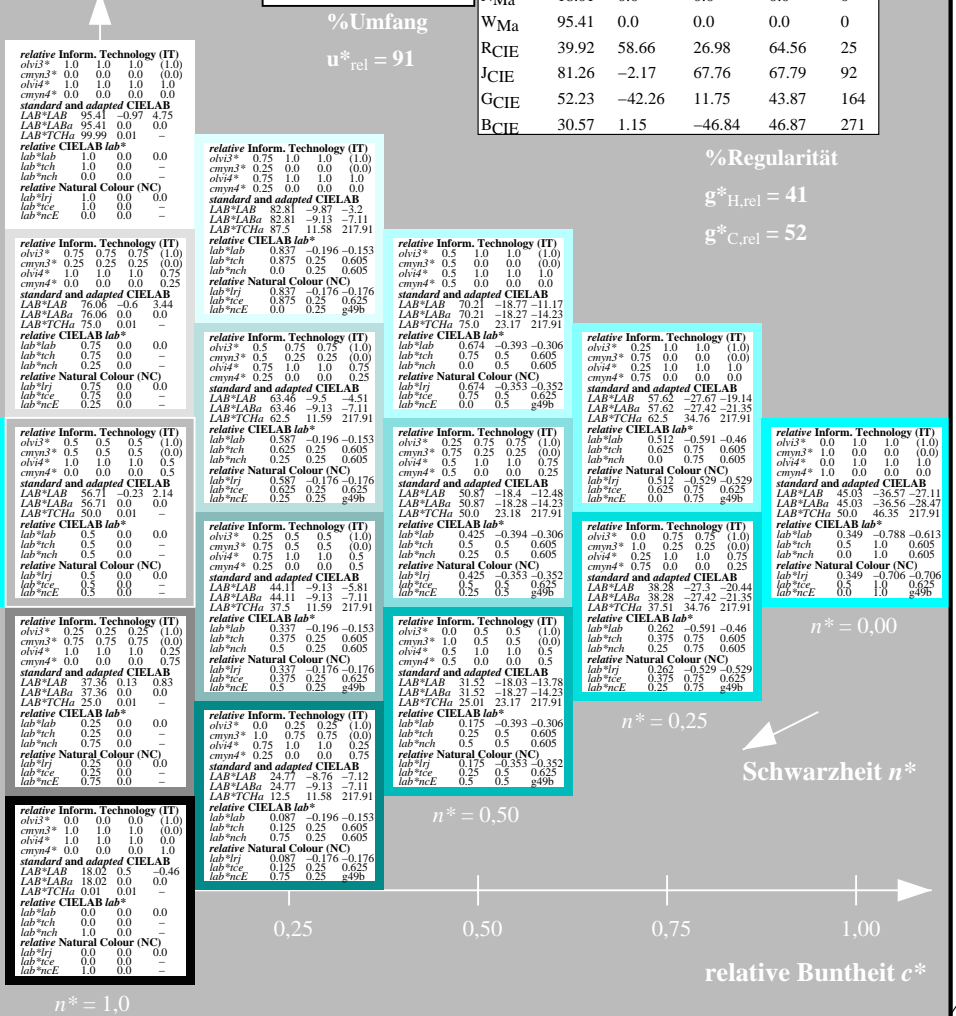
MRS18; adaptierte CIELAB-Daten

	$L^*=L^*_a$	$a^*_a$	$b^*_a$	$C^*_{ab,a}$	$h^*_{ab,a}$
RMa	49.63	66.96	38.37	77.18	30
JMa	90.7	-6.36	88.75	88.98	94
GMa	52.11	-69.73	9.44	70.37	172
G50BMa	45.03	-36.57	-28.47	46.36	218
BMa	36.65	23.19	-63.05	67.18	290
B50RMa	34.94	57.17	-44.26	72.31	322
NMa	18.01	0.0	0.0	0.0	0
WMa	95.41	0.0	0.0	0.0	0
RCIE	39.92	58.66	26.98	64.56	25
JCIE	81.26	-2.17	67.76	67.79	92
GCIE	52.23	-42.26	11.75	43.87	164
BCIE	30.57	1.15	-46.84	46.87	271

%Regularität

$g^*_{H,rel} = 41$

$g^*_{C,rel} = 52$



5stufige Reihen für konstanten CIELAB Buntton 218/360 = 0.605 (rechts)

BAM-Prüfvorlage TG40; Farbmatisches System ORS18 & MRS18  
 input:  $olv^* setrgbcolor$   
 D65: 5stufige Farbreihen und Koordinaten-Daten für 10 Bunttöne  
 output:  $olv^* setrgbcolor / w^* setgray$

Siehe ähnliche Dateien: <http://www.ps.bam.de/TG40/>  
 Technische Information: <http://www.ps.bam.de> Version 2.1, io=1,1, CIEXYZ

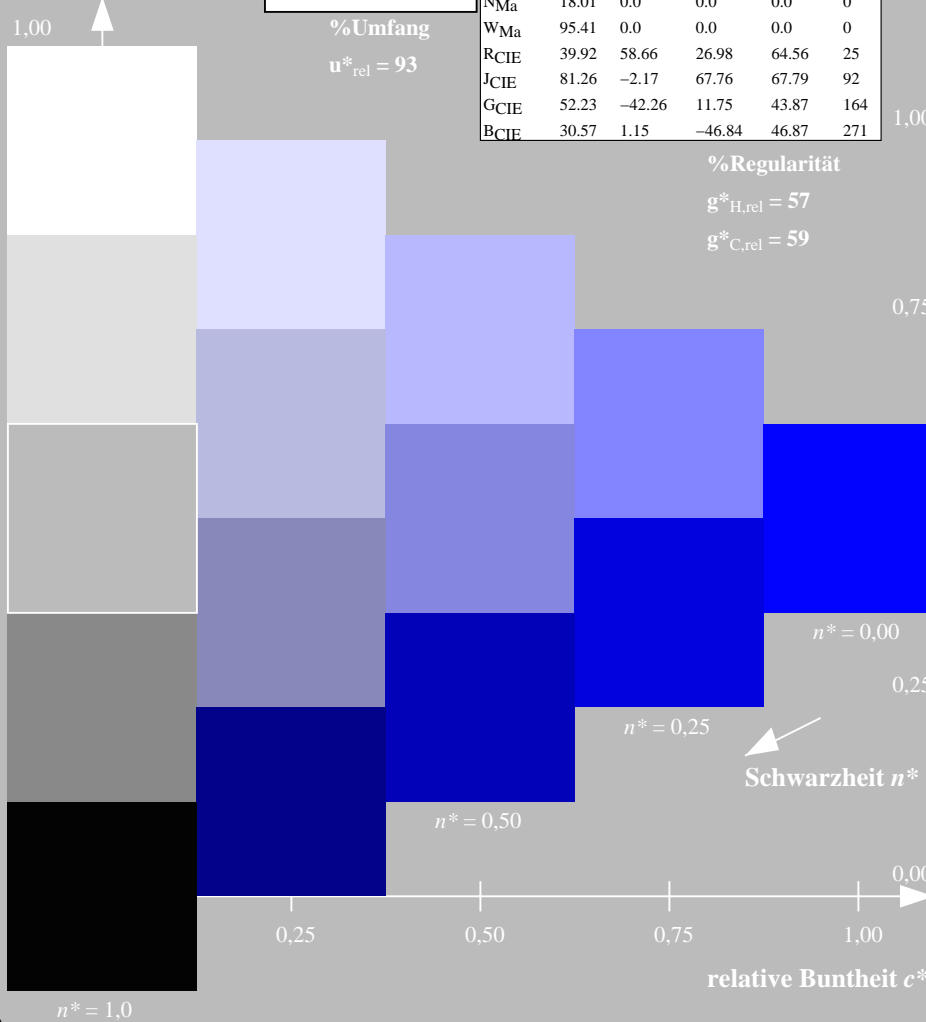
BAM-Registrierung: 20060101-TG40/10Q/Q40G03FP.PS/.PDF BAM-Material: Code=th4ta  
 Anwendung für Beurteilung und Messung von Drucker- oder Monitorssystemen, Yr=2.5, XYZ  
 /TG40/ Form 4/10, Serie: 1/1, Seite: 4  
 Seitenhang 4

Eingabe: Farbmatisches Reflexions-System ORS18

für Buntton  $h^* = lab^*h = 305/360 = 0.847$   
 $lab^*tch$  und  $lab^*nch$

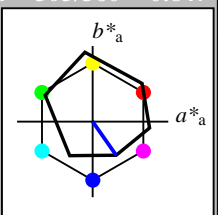
D65: Buntton V  
 LCH\*Ma: 26 54 305  
 rgb\*Ma: 0.0 0.0 1.0

Dreiecks-Helligkeit



**ORS18; adaptierte CIELAB-Daten**

	$L^* = L^*_a$	$a^*_a$	$b^*_a$	$C^*_{ab,a}$	$h^*_{ab,a}$
OMa	47.94	65.37	50.52	82.62	38
YMa	90.37	-10.27	91.77	92.34	96
LMa	50.9	-62.79	34.95	71.87	151
CMa	58.62	-30.35	-45.01	54.3	236
VMa	25.71	31.11	-44.42	54.24	305
MMa	48.13	75.27	-8.35	75.73	354
NMa	18.01	0.0	0.0	0.0	0
WMa	95.41	0.0	0.0	0.0	0
RCIE	39.92	58.66	26.98	64.56	25
JCIE	81.26	-2.17	67.76	67.79	92
GCIE	52.23	-42.26	11.75	43.87	164
BCIE	30.57	1.15	-46.84	46.87	271

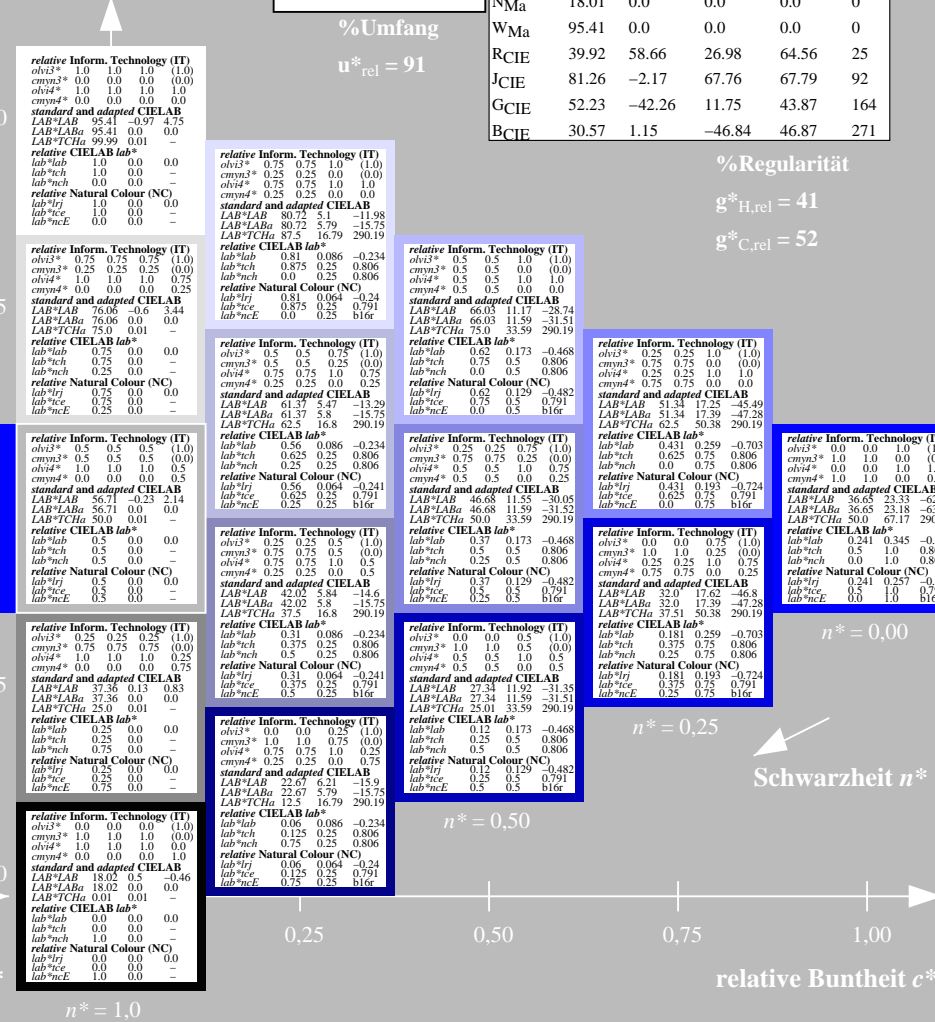


Ausgabe: Farbmatisches Reflexions-System MRS18

für Buntton  $h^* = lab^*h = 290/360 = 0.806$   
 $lab^*tch$  und  $lab^*nch$

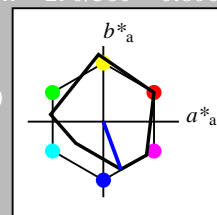
D65: Buntton B  
 LCH\*Ma: 37 67 290  
 rgb\*Ma: 0.0 0.0 1.0

Dreiecks-Helligkeit



**MRS18; adaptierte CIELAB-Daten**

	$L^* = L^*_a$	$a^*_a$	$b^*_a$	$C^*_{ab,a}$	$h^*_{ab,a}$
RMa	49.63	66.96	38.37	77.18	30
JMa	90.7	-6.36	88.75	88.98	94
GMa	52.11	-69.73	9.44	70.37	172
G50BMa	45.03	-36.57	-28.47	46.36	218
BMa	36.65	23.19	-63.05	67.18	290
B50RMa	34.94	57.17	-44.26	72.31	322
NMa	18.01	0.0	0.0	0.0	0
WMa	95.41	0.0	0.0	0.0	0
RCIE	39.92	58.66	26.98	64.56	25
JCIE	81.26	-2.17	67.76	67.79	92
GCIE	52.23	-42.26	11.75	43.87	164
BCIE	30.57	1.15	-46.84	46.87	271



TG400-7, 5stufige Reihen für konstanten CIELAB Buntton 305/360 = 0.847 (links)

5 stufige Reihen für konstanten CIELAB Buntton 290/360 = 0.806 (rechts)

BAM-Prüfvorlage TG40; Farbmatrik-Systeme ORS18 & MRS18input:  $olv^* \text{ setrgbcolor}$   
 D65: 5stufige Farbreihen und Koordinaten-Daten für 10 Bunttöneoutput:  $olv^* \text{ setrgbcolor} / w^* \text{ setgray}$

Siehe ähnliche Dateien: <http://www.ps.bam.de/TG40/>  
 Technische Information: <http://www.ps.bam.de/Version 2.1, io=1.1, CIEXYZ>

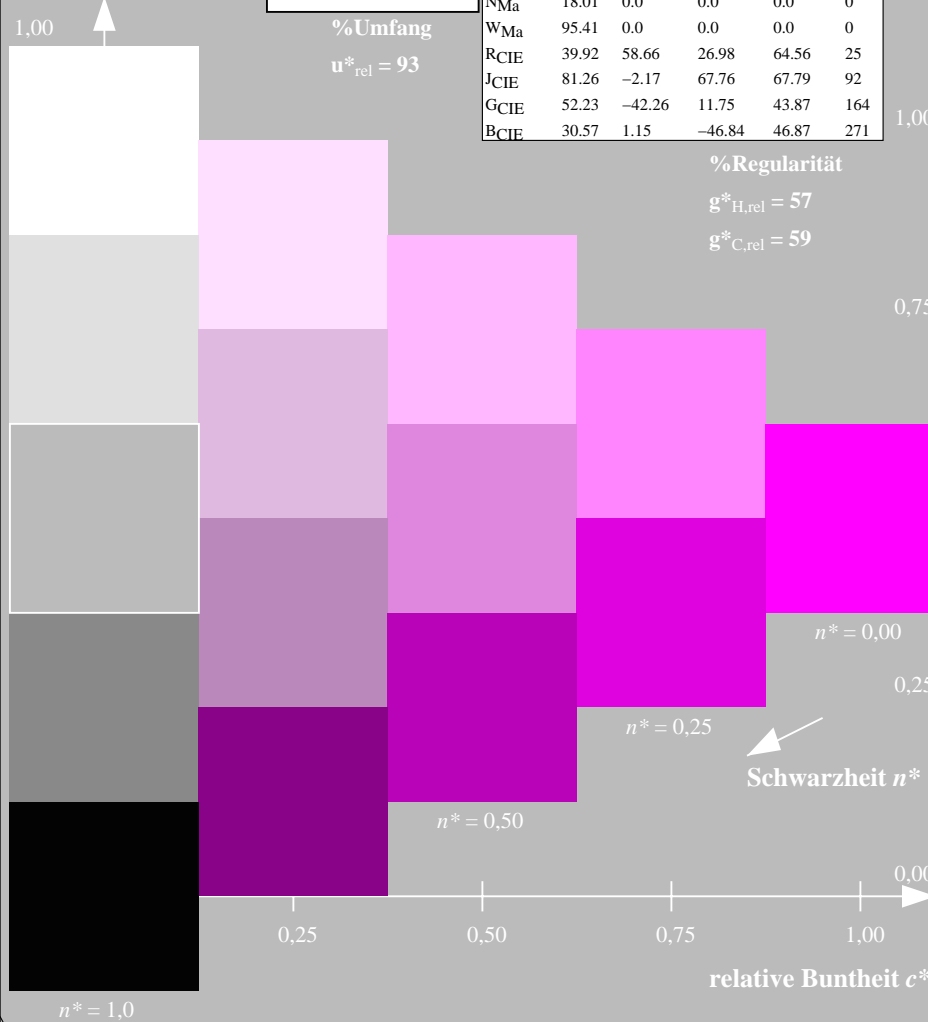
BAM-Registrierung: 20060101-TG40/10Q/Q40G04FP.PS/.PDF BAM-Material: Code=th4ta  
 Anwendung für Beurteilung und Messung von Drucker- oder Monitorssystemen, Yr=2.5, XYZ  
 /TG40/ Form 5/10, Serie: 1/1, Seite: 5  
 Seitenanzahl 5

Eingabe: Farbmatisches Reflexions-System ORS18

für Buntton  $h^* = lab^*h = 354/360 = 0.982$   
 $lab^*tch$  und  $lab^*nch$

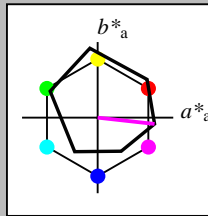
D65: Buntton M  
 LCH\*Ma: 48 76 354  
 rgb\*Ma: 1.0 0.0 1.0

Dreiecks-Helligkeit



**ORS18; adaptierte CIELAB-Daten**

	$L^*=L^*_a$	$a^*_a$	$b^*_a$	$C^*_{ab,a}$	$h^*_{ab,a}$
OMa	47.94	65.37	50.52	82.62	38
YMa	90.37	-10.27	91.77	92.34	96
LMa	50.59	-62.79	34.95	71.87	151
CMa	58.62	-30.35	-45.01	54.3	236
VMa	25.71	31.11	-44.42	54.24	305
MMa	48.13	75.27	-8.35	75.73	354
NMa	18.01	0.0	0.0	0.0	0
WMa	95.41	0.0	0.0	0.0	0
RCIE	39.92	58.66	26.98	64.56	25
JCIE	81.26	-2.17	67.76	67.79	92
GCIE	52.23	-42.26	11.75	43.87	164
BCIE	30.57	1.15	-46.84	46.87	271



% Umfang  
 $u^*_{rel} = 93$

%Regularität

$g^*_{H,rel} = 57$

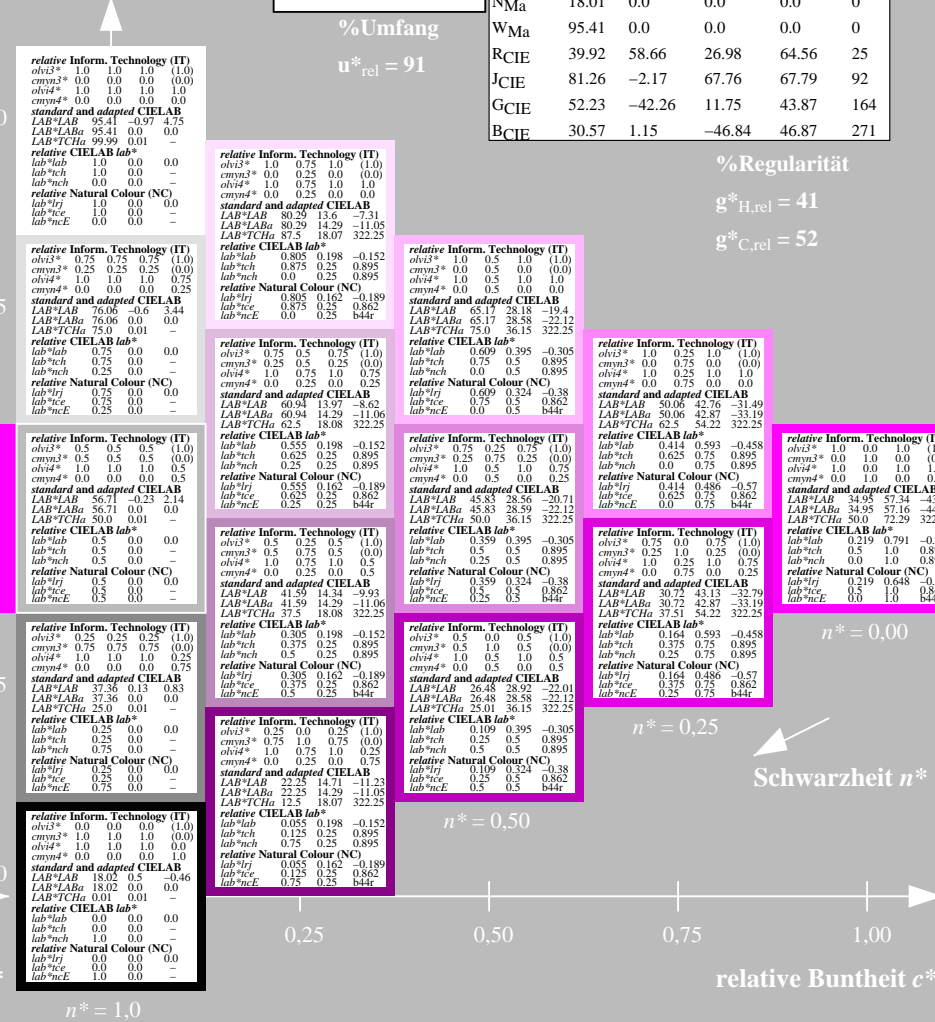
$g^*_{C,rel} = 59$

Ausgabe: Farbmatisches Reflexions-System MRS18

für Buntton  $h^* = lab^*h = 322/360 = 0.895$   
 $lab^*tch$  und  $lab^*nch$

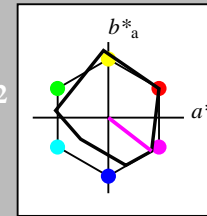
D65: Buntton B50R  
 LCH\*Ma: 35 72 322  
 rgb\*Ma: 1.0 0.0 1.0

Dreiecks-Helligkeit



**MRS18; adaptierte CIELAB-Daten**

	$L^*=L^*_a$	$a^*_a$	$b^*_a$	$C^*_{ab,a}$	$h^*_{ab,a}$
RMa	49.63	66.96	38.37	77.18	30
JMa	90.7	-6.36	88.75	88.98	94
GMa	52.11	-69.73	9.44	70.37	172
G50BMa	45.03	-36.57	-28.47	46.36	218
BMa	36.65	23.19	-63.05	67.18	290
B50RMa	34.94	57.17	-44.26	72.31	322
NMa	18.01	0.0	0.0	0.0	0
WMa	95.41	0.0	0.0	0.0	0
RCIE	39.92	58.66	26.98	64.56	25
JCIE	81.26	-2.17	67.76	67.79	92
GCIE	52.23	-42.26	11.75	43.87	164
BCIE	30.57	1.15	-46.84	46.87	271



% Umfang  
 $u^*_{rel} = 91$

%Regularität

$g^*_{H,rel} = 41$

$g^*_{C,rel} = 52$

TG400-7, 5 stufige Reihen für konstanten CIELAB Buntton 354/360 = 0.982 (links)

5 stufige Reihen für konstanten CIELAB Buntton 322/360 = 0.895 (rechts)

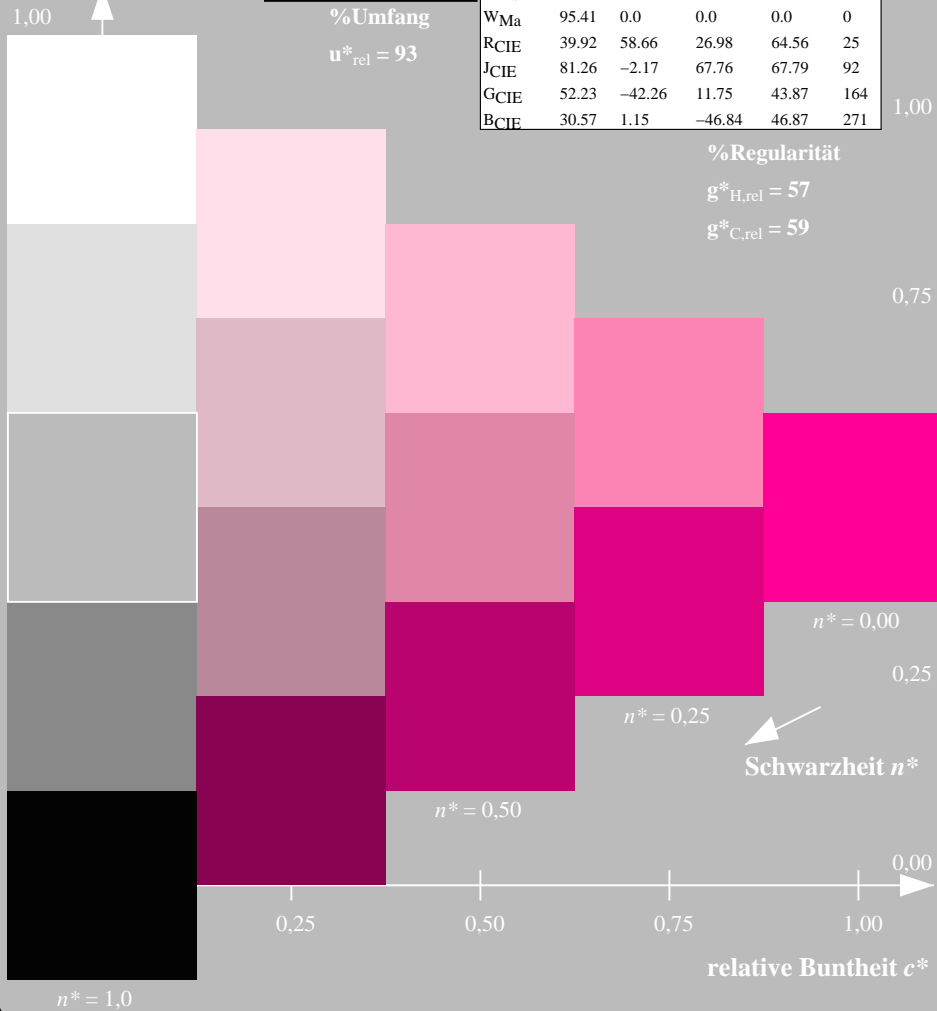
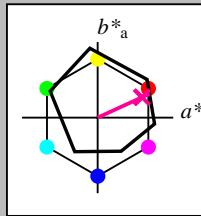
BAM-Prüfvorlage TG40; Farbmatrik-Systeme ORS18 & MRS18input:  $olv^* setrgbcolor$   
 D65: 5stufige Farbreihen und Koordinaten-Daten für 10 Bunttöneoutput:  $olv^* setrgbcolor / w^* setgray$

Eingabe: Farbmatisches Reflexions-System ORS18

für Buntonn  $h^* = lab^*h = 25/360 = 0.069$   
 $lab^*tch$  und  $lab^*nch$

D65: Buntonn R  
 LCH\*Ma: 48 75 25  
 rgb\*Ma: 1.0 0.0 0.32

Dreiecks-Helligkeit

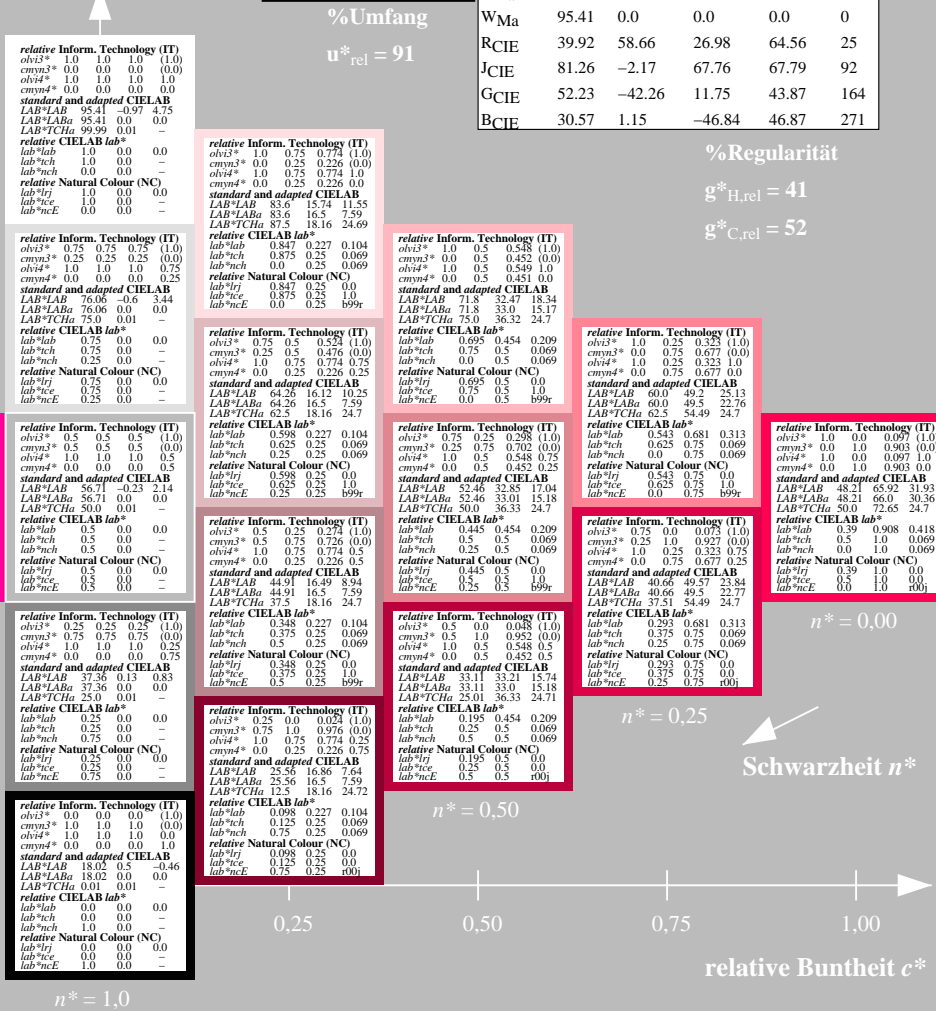
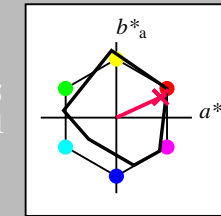


Ausgabe: Farbmatisches Reflexions-System MRS18

für Buntonn  $h^* = lab^*h = 25/360 = 0.069$   
 $lab^*tch$  und  $lab^*nch$

D65: Buntonn R  
 LCH\*Ma: 48 73 25  
 rgb\*Ma: 1.0 0.0 0.1

Dreiecks-Helligkeit



TG400-7, 5 stufige Reihen für konstanten CIELAB Buntonn 25/360 = 0.069 (links)

5 stufige Reihen für konstanten CIELAB Buntonn 25/360 = 0.069 (rechts)

BAM-Prüfvorlage TG40; Farbmatisches System ORS18 & MRS18input:  $olv^* \ setrgbcolor$

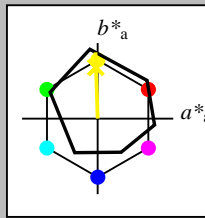
D65: 5stufige Farbreihen und Koordinaten-Daten für 10 Bunntöneoutput:  $olv^* \ setrgbcolor / w^* \ setgray$

Eingabe: Farbmatisches Reflexions-System ORS18

für Buntton  $h^* = lab^*h = 92/360 = 0.255$   
 $lab^*tch$  und  $lab^*nch$

D65: Buntton J  
 LCH\*Ma: 86 88 92  
 rgb\*Ma: 1.0 0.9 0.0

Dreiecks-Helligkeit



ORS18; adaptierte CIELAB-Daten

	$L^*=L^*_a$	$a^*_a$	$b^*_a$	$C^*_{ab,a}$	$h^*_{ab,a}$
OMa	47.94	65.37	50.52	82.62	38
YMa	90.37	-10.27	91.77	92.34	96
LMa	50.9	-62.79	34.95	71.87	151
CMa	58.62	-30.35	-45.01	54.3	236
VMa	25.71	31.11	-44.42	54.24	305
MMa	48.13	75.27	-8.35	75.73	354
NMa	18.01	0.0	0.0	0.0	0
WMa	95.41	0.0	0.0	0.0	0
RCIE	39.92	58.66	26.98	64.56	25
JCIE	81.26	-2.17	67.76	67.79	92
GCIE	52.23	-42.26	11.75	43.87	164
BCIE	30.57	1.15	-46.84	46.87	271

%Regularität

$g^*_{H,rel} = 57$

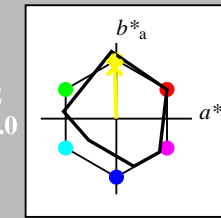
$g^*_{C,rel} = 59$

Ausgabe: Farbmatisches Reflexions-System MRS18

für Buntton  $h^* = lab^*h = 92/360 = 0.255$   
 $lab^*tch$  und  $lab^*nch$

D65: Buntton J  
 LCH\*Ma: 89 86 92  
 rgb\*Ma: 1.0 0.95 0.0

Dreiecks-Helligkeit



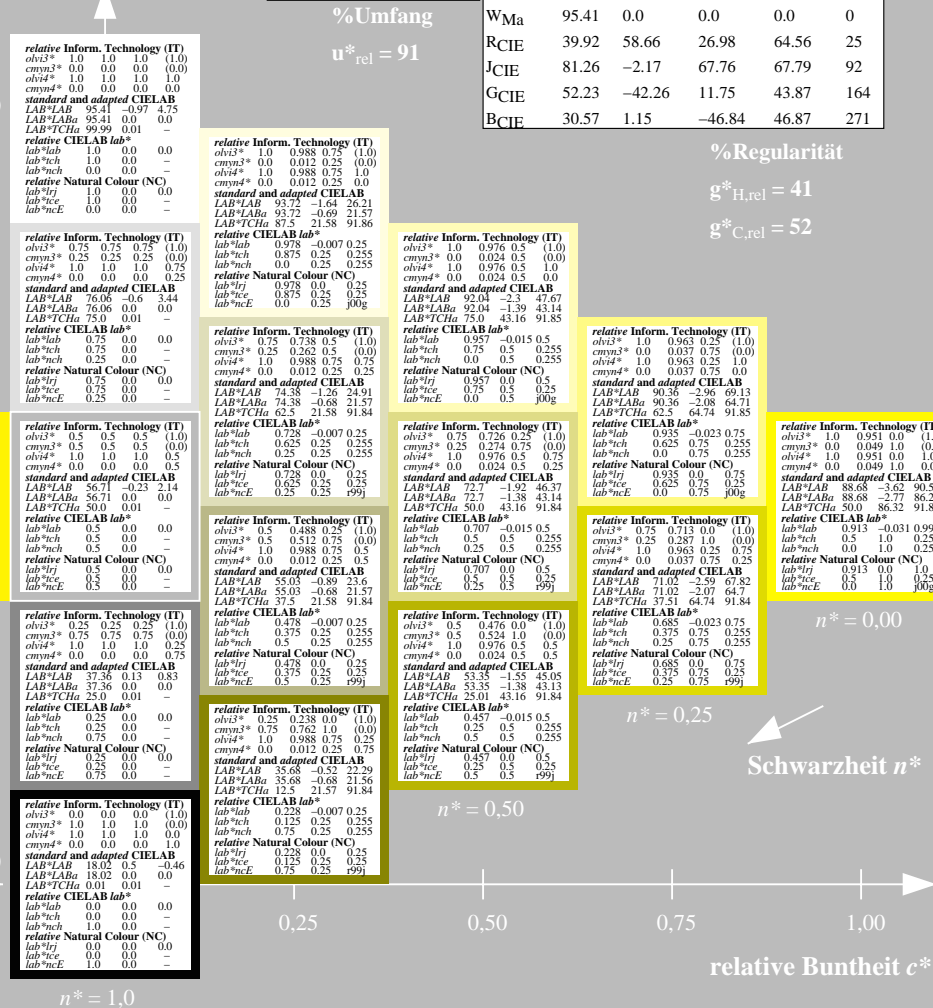
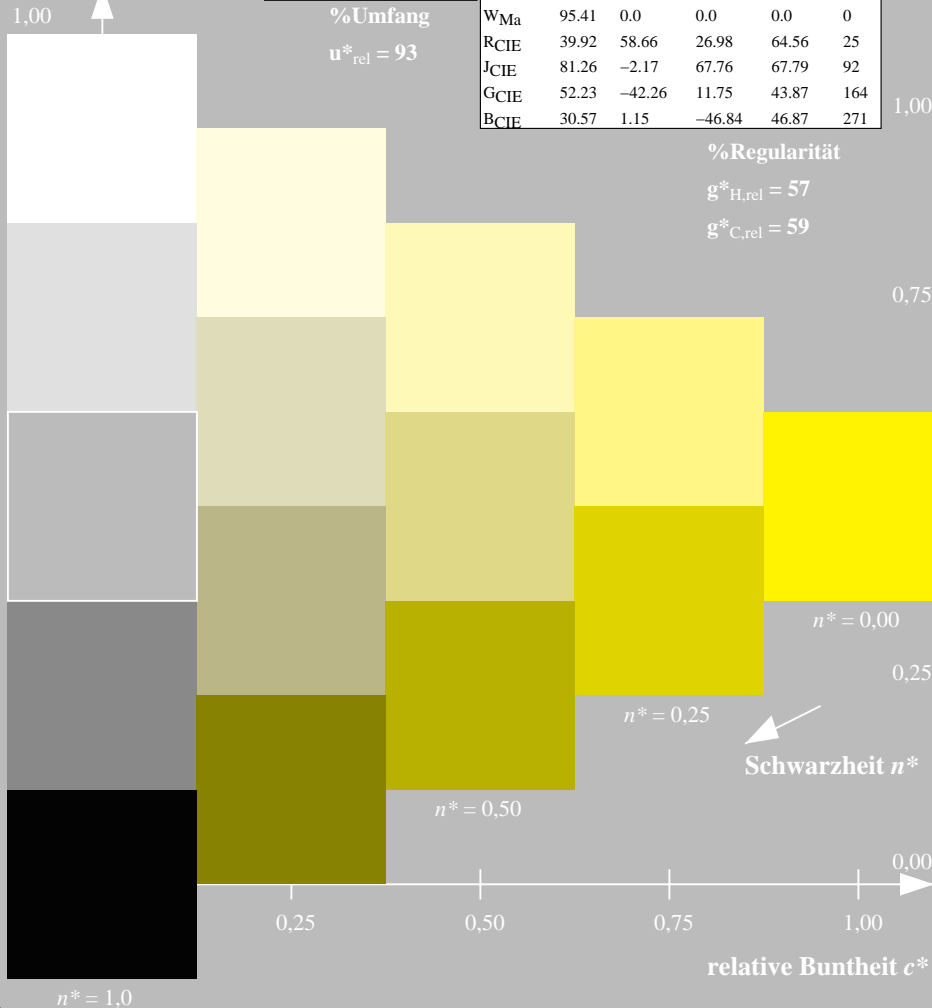
MRS18; adaptierte CIELAB-Daten

	$L^*=L^*_a$	$a^*_a$	$b^*_a$	$C^*_{ab,a}$	$h^*_{ab,a}$
RMa	49.63	66.96	38.37	77.18	30
JMa	90.7	-6.36	88.75	88.98	94
GMa	52.11	-69.73	9.44	70.37	172
G50BMa	45.03	-36.57	-28.47	46.36	218
BMa	36.65	23.19	-63.05	67.18	290
B50RMa	34.94	57.17	-44.26	72.31	322
NMa	18.01	0.0	0.0	0.0	0
WMa	95.41	0.0	0.0	0.0	0
RCIE	39.92	58.66	26.98	64.56	25
JCIE	81.26	-2.17	67.76	67.79	92
GCIE	52.23	-42.26	11.75	43.87	164
BCIE	30.57	1.15	-46.84	46.87	271

%Regularität

$g^*_{H,rel} = 41$

$g^*_{C,rel} = 52$



TG400-7, 5 stufige Reihen für konstanten CIELAB Buntton  $92/360 = 0.255$  (links)

5 stufige Reihen für konstanten CIELAB Buntton  $92/360 = 0.255$  (rechts)

BAM-Prüfvorlage TG40; Farbmatrik-Systeme ORS18 & MRS18input:  $olv^* setrgbcolor$

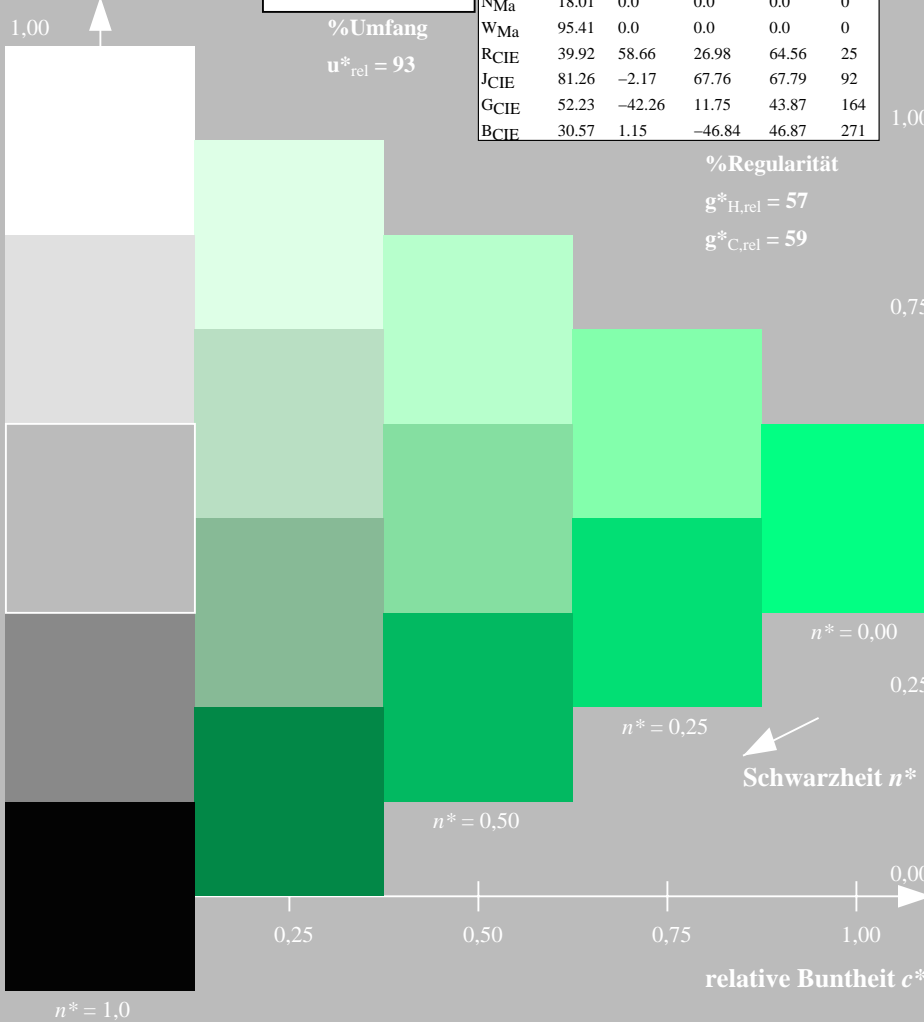
D65: 5stufige Farbreihen und Koordinaten-Daten für 10 Bunttöneoutput:  $olv^* setrgbcolor / w^* setgray$

Eingabe: Farbmatisches Reflexions-System ORS18

für Buntton  $h^* = lab^*h = 164/360 = 0.457$   
 $lab^*tch$  und  $lab^*nch$

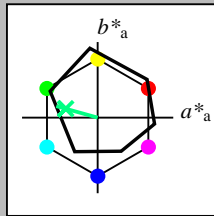
D65: Buntton G  
 LCH\*Ma: 53 57 164  
 rgb\*Ma: 0.0 1.0 0.25

Dreiecks-Helligkeit



**ORS18; adaptierte CIELAB-Daten**

	$L^* = L^*_a$	$a^*_a$	$b^*_a$	$C^*_{ab,a}$	$h^*_{ab,a}$
OMa	47.94	65.37	50.52	82.62	38
YMa	90.37	-10.27	91.77	92.34	96
LMa	50.9	-62.79	34.95	71.87	151
CMa	58.62	-30.35	-45.01	54.3	236
VMa	25.71	31.11	-44.42	54.24	305
MMa	48.13	75.27	-8.35	75.73	354
NMa	18.01	0.0	0.0	0.0	0
WMa	95.41	0.0	0.0	0.0	0
RCIE	39.92	58.66	26.98	64.56	25
JCIE	81.26	-2.17	67.76	67.79	92
GCIE	52.23	-42.26	11.75	43.87	164
BCIE	30.57	1.15	-46.84	46.87	271

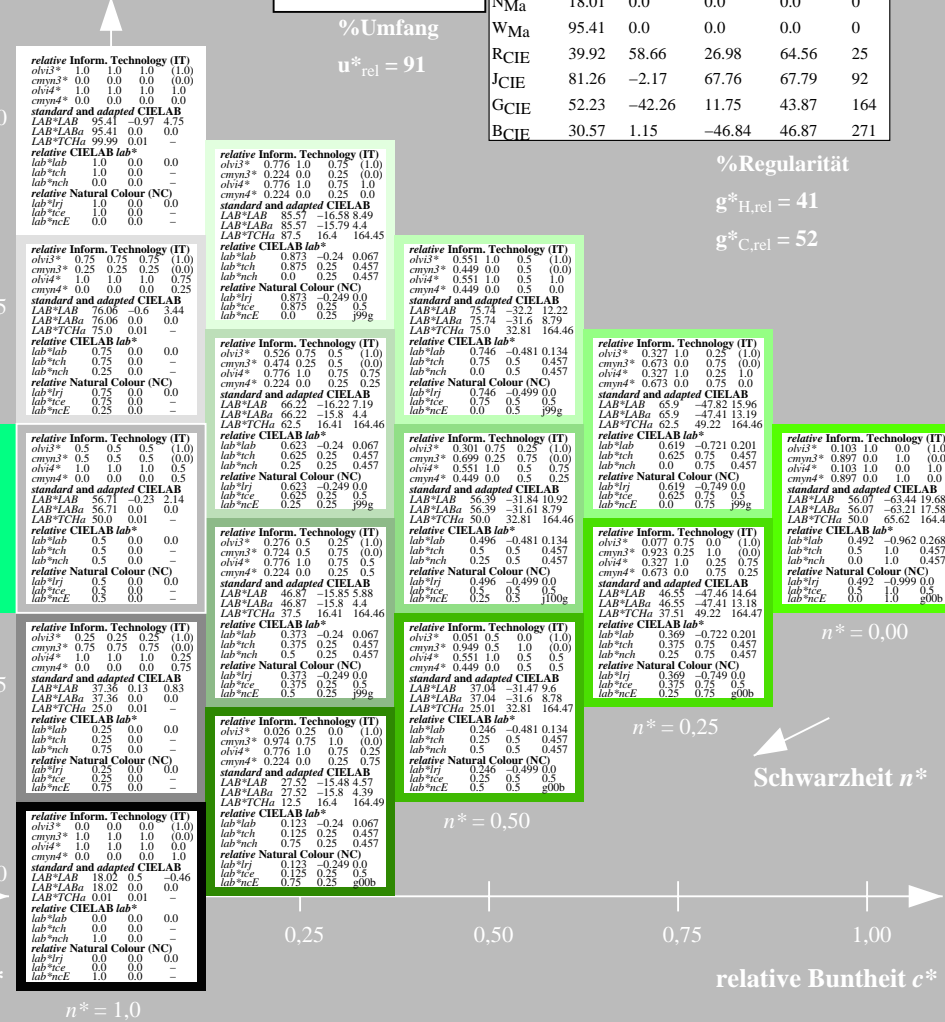


Ausgabe: Farbmatisches Reflexions-System MRS18

für Buntton  $h^* = lab^*h = 164/360 = 0.457$   
 $lab^*tch$  und  $lab^*nch$

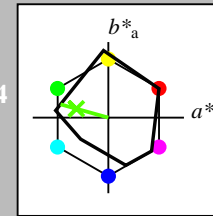
D65: Buntton G  
 LCH\*Ma: 56 66 164  
 rgb\*Ma: 0.1 1.0 0.0

Dreiecks-Helligkeit



**MRS18; adaptierte CIELAB-Daten**

	$L^* = L^*_a$	$a^*_a$	$b^*_a$	$C^*_{ab,a}$	$h^*_{ab,a}$
RMa	49.63	66.96	38.37	77.18	30
JMa	90.7	-6.36	88.75	88.98	94
GMa	52.11	-69.73	9.44	70.37	172
G50BMa	45.03	-36.57	-28.47	46.36	218
BMa	36.65	23.19	-63.05	67.18	290
B50RMa	34.94	57.17	-44.26	72.31	322
NMa	18.01	0.0	0.0	0.0	0
WMa	95.41	0.0	0.0	0.0	0
RCIE	39.92	58.66	26.98	64.56	25
JCIE	81.26	-2.17	67.76	67.79	92
GCIE	52.23	-42.26	11.75	43.87	164
BCIE	30.57	1.15	-46.84	46.87	271



Siehe ähnliche Dateien: <http://www.ps.bam.de/TG40/>  
 Technische Information: <http://www.ps.bam.de> Version 2.1, io=1,1, CIEXYZ

BAM-Registrierung: 20060101-TG40/10Q/Q40G08FP.PS/.PDF BAM-Material: Code=thata4ta  
 Anwendung für Beurteilung und Messung von Drucker- oder Monitorssystemen, Yr=2.5, XYZ  
 /TG40/ Form 9/10, Serie: 1/1, Seite: 9  
 Schenklung 9

TG400-7, 5stufige Reihen für konstanten CIELAB Buntton 164/360 = 0.457 (links)

5 stufige Reihen für konstanten CIELAB Buntton 164/360 = 0.457 (rechts)

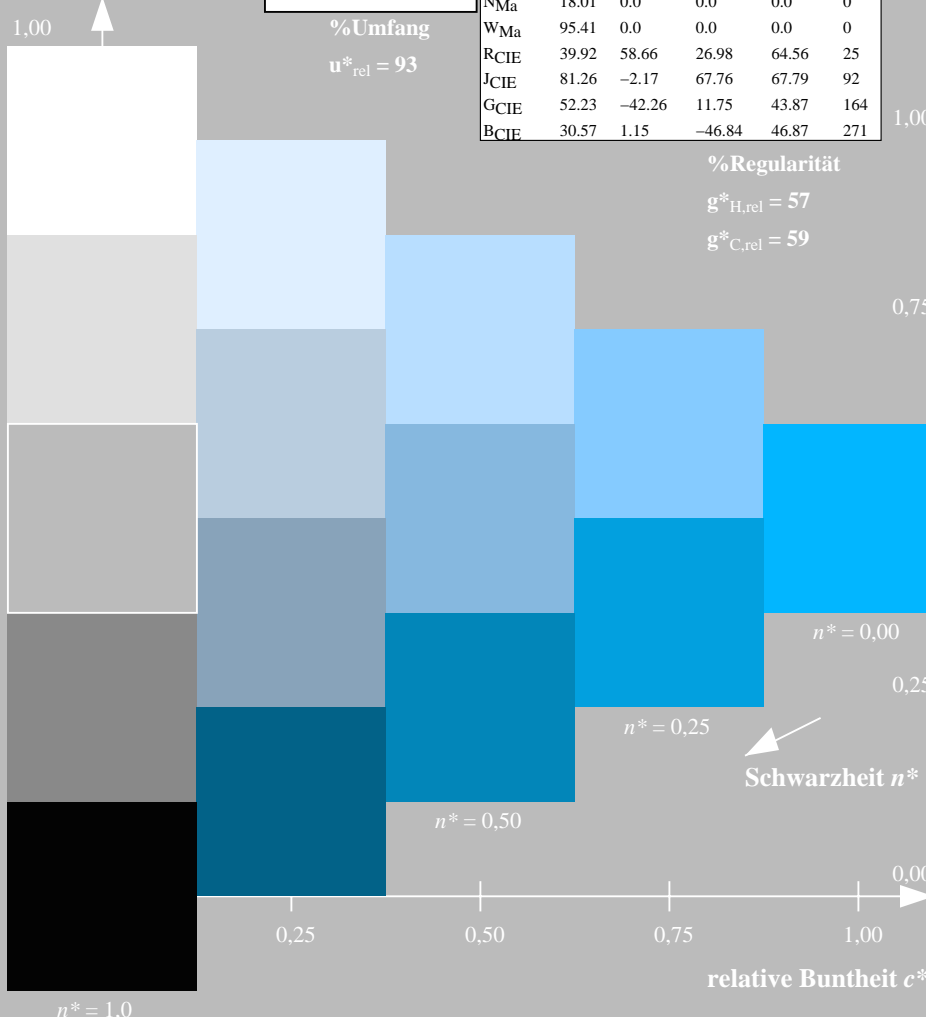
BAM-Prüfvorlage TG40; Farbmatisches System ORS18 & MRS18  
 Input:  $olv^* setrgbcolor$   
 D65: 5stufige Farbreihen und Koordinaten-Daten für 10 Bunttöne  
 Output:  $olv^* setrgbcolor / w^* setgray$

Eingabe: Farbmatisches Reflexions-System ORS18

für Buntton  $h^* = lab^*h = 271/360 = 0.754$   
 $lab^*tch$  und  $lab^*nch$

D65: Buntton B  
 LCH\*Ma: 42 45 271  
 rgb\*Ma: 0.0 0.49 1.0

Dreiecks-Helligkeit



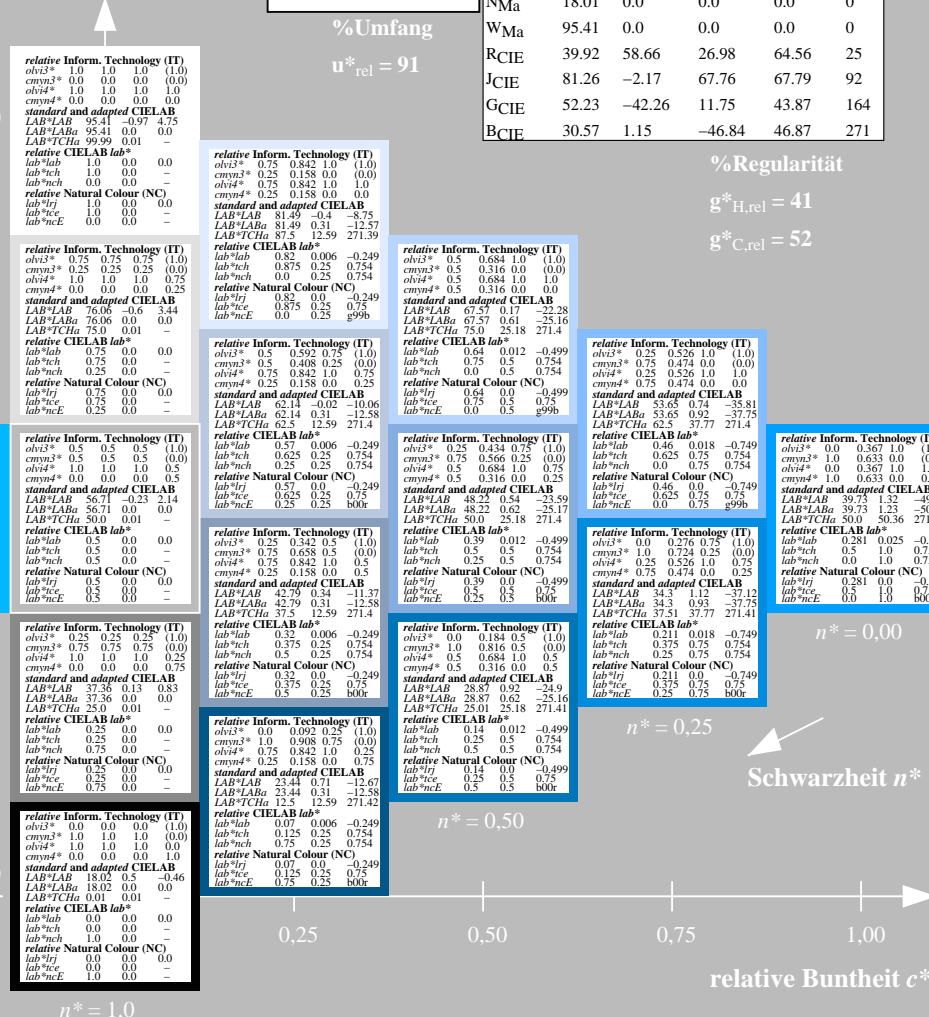
TG400-7, 5stufige Reihen für konstanten CIELAB Buntton 271/360 = 0.754 (links)

Ausgabe: Farbmatisches Reflexions-System MRS18

für Buntton  $h^* = lab^*h = 271/360 = 0.754$   
 $lab^*tch$  und  $lab^*nch$

D65: Buntton B  
 LCH\*Ma: 40 50 271  
 rgb\*Ma: 0.0 0.37 1.0

Dreiecks-Helligkeit



5stufige Reihen für konstanten CIELAB Buntton 271/360 = 0.754 (rechts)

ORS18; adaptierte CIELAB-Daten

	$L^*=L^*_a$	$a^*_a$	$b^*_a$	$C^*_{ab,a}$	$h^*_{ab,a}$
OMa	47.94	65.37	50.52	82.62	38
YMa	50.37	-10.27	91.77	92.34	96
LMa	90.9	-62.79	34.95	71.87	151
CMa	58.62	-30.35	-45.01	54.3	236
VMa	25.71	31.11	-44.42	54.24	305
MMa	48.13	75.27	-8.35	75.73	354
NMa	18.01	0.0	0.0	0.0	0
WMa	95.41	0.0	0.0	0.0	0
RCIE	39.92	58.66	26.98	64.56	25
JCIE	81.26	-2.17	67.76	67.79	92
GCIE	52.23	-42.26	11.75	43.87	164
BCIE	30.57	1.15	-46.84	46.87	271

%Regularität

$g^*_{H,rel} = 57$

$g^*_{C,rel} = 59$

MRS18; adaptierte CIELAB-Daten

	$L^*=L^*_a$	$a^*_a$	$b^*_a$	$C^*_{ab,a}$	$h^*_{ab,a}$
RMa	49.63	66.96	38.37	77.18	30
JMa	90.7	-6.36	88.75	88.98	94
GMa	52.11	-69.73	9.44	70.37	172
G50BMa	45.03	-36.57	-28.47	46.36	218
BMa	36.65	23.19	-63.05	67.18	290
B50RMa	34.94	57.17	-44.26	72.31	322
NMa	18.01	0.0	0.0	0.0	0
WMa	95.41	0.0	0.0	0.0	0
RCIE	39.92	58.66	26.98	64.56	25
JCIE	81.26	-2.17	67.76	67.79	92
GCIE	52.23	-42.26	11.75	43.87	164
BCIE	30.57	1.15	-46.84	46.87	271

%Regularität

$g^*_{H,rel} = 41$

$g^*_{C,rel} = 52$

BAM-Prüfvorlage TG40; Farbmatisches System ORS18 & MRS18input:  $olv^* setrgbcolor$

D65: 5stufige Farbreihen und Koordinaten-Daten für 10 Bunttöneoutput:  $olv^* setrgbcolor / w^* setgray$

Siehe ähnliche Dateien: <http://www.ps.bam.de/TG40/>  
 Technische Information: <http://www.ps.bam.de/Version 2.1, io=1,1, CIEXYZ>

BAM-Registrierung: 20060101-TG40/10Q/Q40G09FP.PS/.PDF BAM-Material: Code=th4ta  
 Anwendung für Beurteilung und Messung von Drucker- oder Monitorssystemen, Yr=2.5, XYZ  
 /TG40/ Form 10/10Ser: 1/1, Seite: 10, Seitenanzahl: 10